

闽中、闽东渔场蓝圆鲹生长特性的研究*

颜尤明 卢振彬 戴泉水

(福建省水产研究所)

蓝圆鲹 (*Decapterus maruadsi*) 是福建近海主要的中上层鱼类，为群众渔业最重要的捕捞对象之一。据统计，七十年代以来福建省使用围网捕获蓝圆鲹平均年产量约 2.5 万吨，占全省海洋捕捞产量的 1/13 强，仅次于带鱼、大黄鱼而居第三位。其中闽中、闽东渔场共约占 24%，研究该海域蓝圆鲹的生长特性，可为掌握种群动态规律以及资源的科学利用提供重要依据。

材料和方法

本文材料取自 1984 年 4—6 月，大围缯和灯光围网在北纬 $24^{\circ}30' - 26^{\circ}30'$ 、东经 $120^{\circ} - 121^{\circ}$ 海域的渔获物，生物学测定蓝圆鲹 366 尾，年龄鉴定材料 256 号。鉴定年龄的鳞片采自胸鳍基部后、侧线下方的胸鳍覆盖区。鉴定在投影仪上进行。鳞片长度的测量位于基区上侧角(基区与侧区交界处)。鳞片半径(R)为鳞焦与基区上侧角外缘之间的距离，年轮半径(r_s)为鳞焦与基区上侧角各年轮之间的距离。

生长参数及生长速度等的求算，借助日产 EL-5100C 计算器。

鉴于闽中、闽东渔场夏汛的蓝圆鲹幼鱼群体属于闽南、粤东近海地方种群，而本文讨论的蓝圆鲹属于东海种群。在未获得东海种群幼鱼生物学材料时，对蓝圆鲹的年轮形成时间暂不讨论。

结 果

一、年轮和幼轮的特征：

蓝圆鲹的鳞片属于薄圆鳞。胸鳍区鳞片的外部形态呈直立长圆形，基区具辐射沟 3—6 条。鳞焦接近中心，稍偏基区。环片的排列，近中心似眼状。同一生长年带内环片排列走向一致，相邻两个生长年带之间(即年轮所在之处)的环纹，基区一般为疏密状，侧区多呈切割型，顶区多呈切割兼疏密的混合型。年轮特征在前侧区和顶区表现最清楚且较稳定。

除正常年轮外，渔获群体中有 73% 的个体鳞片具幼轮。据逆算，幼轮形成时的平均叉长为 161 毫米(标准差 $s = 15.1$)。幼轮与年轮的

* 参加样品采集和生物学测定工作的还有汪伟洋、戴萍、高绍宝、刘秋霖、郭宝天等同志，特此致谢。

本文部分资料引自资源调查报告(未公开发行)，未一一列出。

区别在于前者轮径明显偏小。环片排列呈完整的封闭状态，一般不具切割迹象，多呈疏密型排列，易与年轮区分。

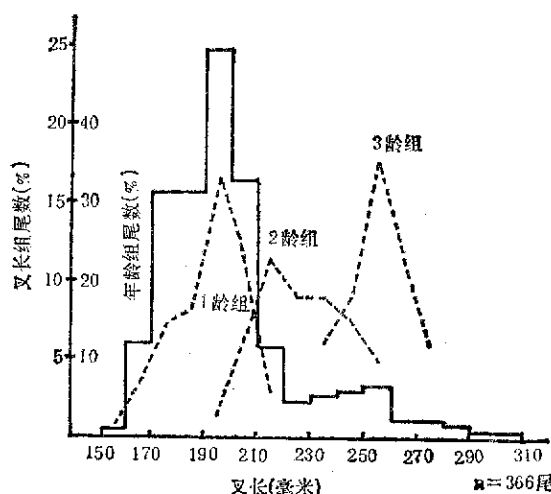


图1 蓝圆鲹渔获叉长和年龄分布曲线

经鉴定，闽中、闽东渔场蓝圆鲹生殖群体的年龄组成由1—5龄5个年龄组组成。图1为蓝圆鲹渔获叉长与年龄组分布图，可作为年龄鉴定的辅证依据。对比叉长组与年龄组分布曲线，渔获叉长分布曲线的高峰与年龄组分布高峰吻合，证实年龄鉴定正确。

二、生长特性

(一) 叉长与鳞径的关系：

蓝圆鲹生殖群体（叉长范围186—304毫米）叉长 L （毫米）与鳞片半径 R （毫米）的关系呈直线相关，其回归方程式为：

$$L = 41.7 + 2.588R \quad (1)$$

(相关系数 $r = 0.8593$)

上式截距值41.7毫米表示鱼体刚出现鳞片时的叉长。南海水产研究所（1966）观察了南海北部蓝圆鲹胸鳍覆盖处刚出现鳞片时的叉长实测值为30毫米，上述关系式的截距值略大，但比较接近。

由于（1）式仅仅表示蓝圆鲹群体中总体的一般关系，对具体每一尾鱼的返算还有局限性，有时不能如实反映鱼体的真实长度。因此，引入Rosa Lee（1920）逆算公式：

$$L_n = \frac{r_n}{R} (L - a) + a \quad (2)$$

L_n ——逆算叉长

L ——实测叉长

r_n ——轮径

R ——鳞径

a ——同（1）式

用上式对每一尾鱼进行各龄叉长值的逆算，然后统计各年龄组的平均叉长如表1，与实测叉长很接近。

表1 蓝圆鲹各龄叉长值（单位：毫米）

年龄 叉长	1	2	3	4	5
实测值	195.7	228.7	254.6	278.7	299.8
逆算值	193.8	230.7	258.3	280.4	
样本数	180	31	29	10	6

(二) 叉长与体重的关系：

闽中、闽东渔场的蓝圆鲹，叉长与纯体重的关系属幂函数型，其关系式为：

$$W = 1.062 \times 10^{-5} L^{3.0293} \quad (r = 0.9780) \quad (3)$$

W ——纯体重（克）

L ——叉长（毫米）

表现为鱼体重量生长与长度的近似立方成比例关系，可视其为等速生长型。

上述关系式与浙江海域、闽南-台湾浅滩^[5]和南海北部（包括粤东、粤西，下同。）的有所差异。浙江海域的 $W = 1.652 \times 10^{-5} L^{2.947}$ ，闽南-台湾浅滩的 $W = 4.447 \times 10^{-6} L^{3.1845}$ ，南海北部的 $W = 2.651 \times 10^{-5} L^{2.8895}$ 。

(三) 生长方程和生长的一般规律：

叉长与体重的关系式中， L 的指数值接近3，因此可用von Bertalanffy生长方程来描述蓝圆鲹的年生长，其方程式为：

$$L_t = L_\infty [1 - e^{-k(t-t_0)}] \quad (4)$$

$$W_t = W_\infty [1 - e^{-k(t-t_0)}]^b \quad (5)$$

L_t, W_t —— t 龄时的理论叉长、体重

L_∞, W_∞ ——叉长、体重的渐近值

k ——生长曲率参数

t_0 ——理论生长起点年龄

表 2 蓝圆鲹各龄理论叉长和体重(单位: 毫米、克)*

年龄	1	2	2.17	3	4	5	6	7	8
叉长	193.8	230.5	235.8	258.7	280.4	297.0	309.7	319.5	327.1
体重	90.2	152.6	163.5	216.4	276.0	328.7	373.4	410.3	440.3

* 表 2—4 中的 1 至 5 龄组各龄样本数均与表 1 中样本数相同; 6—8 龄为由 1 至 5 龄组的逆算值求得的理论值。

b —同(3)式 L 的指数

经用逆算叉长值计算生长方程的各参数值后, 拟合本海区蓝圆鲹的叉长和体重生长方程为:

$$L_t = 352[1 - e^{-0.264(t+2.03)}]$$

$$W_t = 550[1 - e^{-0.264(t+2.03)}]^{3.0293}$$

根据以上两式计算的各龄叉长和体重如表 2, 图 2、3。从表 2 可见, 其值与逆算值和实测值(表 1)非常接近, 说明蓝圆鲹的生长可用 von Bertalanffy 生长方程来描述。从图 2 上可见, 蓝圆鲹的叉长生长曲线是一条不具拐点而趋近渐近值的曲线, 表现为生命周期的初始阶段生长较快, 随着时间的推移, 生长逐渐缓慢并趋向渐近值, 即叉长生长规律为: 快→慢→极限; 而体重生长曲线是一条具有拐点的呈拉长的不对称的“S”型曲线(图 3), 体现为鱼体重量生长在生命的最初阶段是缓慢的, 随着年龄的增大, 生长由慢到快, 此快速生长持续若干年后, 生长又趋缓慢, 反映体重生长规律为: 慢→快→慢→极限。

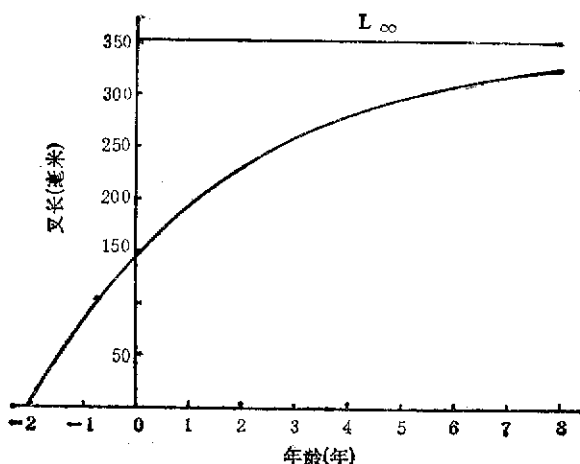


图 2 蓝圆鲹的叉长生长曲线

(四) 生长的变化特征:

1. 生长速度和加速度

鱼类生长的变化特征, 可用生长速度和加速度来分析。对(4)、(5)式求一阶和二阶导数, 得蓝圆鲹叉长和体重的生长速度和加速度公式如下:

$$dL/dt = kL_{\infty}e^{-k(t-t_0)} \quad (6)$$

$$dW/dt = kbW_{\infty}e^{-k(t-t_0)} \cdot [1 - e^{-k(t-t_0)}]^{b-1} \quad (7)$$

$$d^2L/dt^2 = -k^2L_{\infty}e^{-k(t-t_0)} \quad (8)$$

$$\begin{aligned} d^2W/dt^2 = & k^2bW_{\infty}e^{-k(t-t_0)} \cdot [1 \\ & - e^{-k(t-t_0)}]^{b-2} \\ & \cdot [be^{-k(t-t_0)} - 1] \end{aligned} \quad (9)$$

根据以上(6)~(9)式计算得闽中、闽东渔场蓝圆鲹各龄生长速度和加速度如表 3, 图 4、5。又据体重生长拐点公式

$$t_i = \frac{L_n b}{k} + t_0,$$

(t_i 为拐点年龄, b 为(3)式 L 的指数, k, t_0 为生长方程中的参数) 计算出体重生长拐点为 2.17 龄, 位于 $0.297W_{\infty}$ 处。

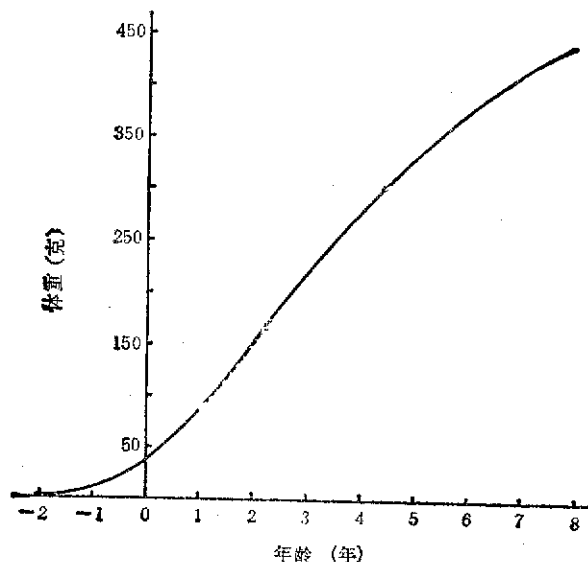


图 3 蓝圆鲹的体重生长曲线

表 3 蓝圆鲹各龄生长速度和加速度(单位: 毫米、克)

年 龄 (年)	1	2	2.17	3	4	5	6	7	8
叉长生长速度	41.8	32.7	30.7	24.6	18.9	14.5	11.2	8.6	6.6
体重生长速度	58.9	64.3	54.4	62.4	56.4	48.7	40.7	33.3	27.1
叉长生长加速度	-11.0	-8.5	-8.1	-6.5	-5.0	-3.8	-2.9	-2.3	-1.7
体重生长加速度	10.2	1.2	0.0	-4.4	-7.2	-8.0	-7.8	-7.0	-6.0

表 4 蓝圆鲹的生长指数(单位: 毫米、克)

年 龄 (年)	理 论		生长比速		生长常数		生长指标		
	叉长	体重	叉长	体重	叉长	体重	叉长	体重	
1	193.8	90.2	>	0.1734	0.5258	0.2601	0.7887	33.605	47.427
2	230.5	152.6	>	0.1154	0.3493	0.2885	0.8733	26.599	53.303
3	258.7	216.4	>	0.0805	0.2433	0.2818	0.8516	20.825	52.650
4	280.4	276.0	>	0.0575	0.1747	0.2588	0.7862	16.123	48.217
5	297.0	328.7	>	0.0419	0.1275	0.2305	0.7013	12.444	41.909
6	309.7	373.4	>	0.0312	0.0942	0.2028	0.6123	9.663	35.174
7	319.5	410.3	>	0.0235	0.0706	0.1763	0.5295	7.508	28.967
8	327.1	440.3							

从表 3, 图 4 可以看出, 叉长生长速度和体重生长速度完全不同。前者表现为随年龄的增长而递减; 而后者在拐点年龄(2.17 龄)以前是随年龄的增长而递增, 至拐点年龄时生长速度达高峰。过拐点后, 生长速度转为随年龄增大而递减。从图 5 看, 叉长和体重生长加速度的变化特征也不一致。前者一直为负值, 它的绝对值随年龄的增长而递减, 并逐趋向零, 表明蓝圆鲹一孵出其叉长都在减速即负加速度地生长。而后者在拐点年龄前为正值, 但其数值是逐步

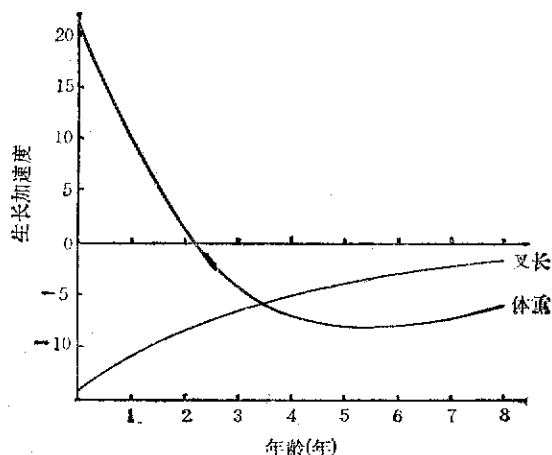


图 5 蓝圆鲹叉长和体重的生长加速度曲线

降低的, 表明此时体重生长速度为递增阶段, 但递增的速度渐次减慢; 达拐点年龄时加速度等于零(曲线与 t 轴相交), 此即表明体重生长速度值最大, 也说明递增阶段到此结束; 拐点后加速度转为负值, 至 5 龄时加速度最小, 尔后逐渐回升而趋向零。

2. 阶段生长

为进一步分析蓝圆鲹整个生命过程的生长状况, 计算了本海区蓝圆鲹生长指标如表 4。表 4 表明, 可将蓝圆鲹的叉长生长划分为两个

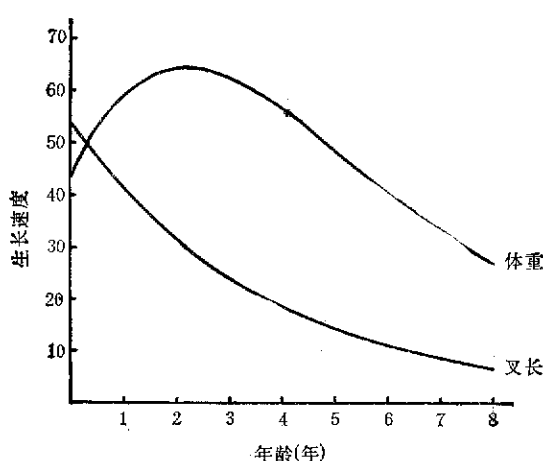


图 4 蓝圆鲹叉长和体重的生长速度曲线

阶段。1—3 龄为生长旺盛阶段，4 龄以上为生长缓慢阶段，各项生长指数 1—4 龄为旺季，5 龄以上随年龄增长而渐次下降。体重生长也可分为两个阶段，但其生长旺盛期稍长于生长长期。

讨 论

一、蓝圆鲹体重生长拐点年龄的确定，对合理利用资源提供了科学依据。从本海区蓝圆鲹体重生长拐点年龄考虑，选择捕捞 2 龄以上群体固然可取得最佳利用资源的目的，但蓝圆鲹属倾向于 r-选择者的鱼类，具有生长率高，性成熟早，一定量的亲鱼即可产生较大量的后代，且死亡率高，生命周期短，资源补充能力强，在渔业上可提供较高的生产量等特点。因此，在较低年龄(1—2 龄)时，以较高的捕捞死亡率进行捕捞，仍不失其生物学和经济意义。

二、表 5 为不同海区蓝圆鲹生长参数值。表中显示本海区蓝圆鲹各生长参数与浙江海域的很接近，而与闽南-台湾浅滩渔场和南海北部的有很大的差异。特别在体重生长拐点和极限长度的差异较大。闽南-台湾浅滩渔场的体

重生长拐点年龄为 3.73 龄，与性成熟年龄(1 龄)相距较远^[5]，而本海区和浙江海域的体重生长拐点年龄稍后于性成熟年龄。南海北部的最低，但与其性成熟年龄吻合。以上特征值的差异，可作为种群划分的依据之一。

三、从不同渔场蓝圆鲹的长度生长速度看(表 6、图 6)，长度生长速度本渔场的为最低，其次为浙江近海，但两者仅在 1—4 龄有所差异，5 龄后基本吻合。闽南-台湾浅滩的为最高，但其变化趋势与前二者相同。南海北部的在 2 龄前高于本渔场和浙江近海，2 龄后则相反。而且其变化趋势亦与前三者不同，呈现低龄时长度生长速度甚快，但维持时间较短，较早趋近零。

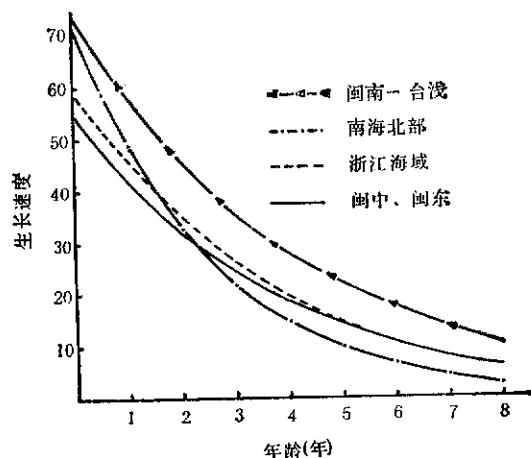


图 6 不同海区蓝圆鲹的长度生长速度曲线

从上述的比较中可以看出，本海区蓝圆鲹的生长特征值与浙江海域的蓝圆鲹比较接近，与闽南-台湾浅滩和南海北部的却差异较大。从地理位置看，本海区位于台湾海峡北部及邻近海区，北面与浙江渔场毗邻，属于东海南部海

表 5 不同渔场蓝圆鲹生长参数比较

渔场	参数	L_{∞}^*	k	t_0	t_f^*
浙江近海		361	0.276	-1.846	2.098
闽中、闽东		352	0.264	-2.03	2.17
闽南-台浅		340	0.24	-0.44	3.73
南海北部		268	0.44	-0.98	1.673

* L_{∞} 值南海北部的为体长，余者均为叉长。

** 南海北部的 t_f 值系作者用该文的生长参数以

$$t_f = \frac{L_{\infty} - L}{k} + t_0$$

计算的(原文无此值)。

表 6 不同渔场蓝圆鲹长度生长速度比较*

渔场	1	2	3	4	5	6	7	8
浙江近海	45.43	34.47	26.16	19.85	15.07	11.43	8.68	6.58
闽中、闽东	41.8	32.1	24.6	18.9	14.5	11.2	8.6	6.6
闽南-台浅	57.76	45.43	35.74	28.11	22.11	17.40	13.68	10.76
南海北部	48.55	32.55	21.82	14.62	9.80	6.57	4.40	2.95

* 闽南-台浅和南海北部渔场的数据系作者依该文的生长方程求导后计算的(原文均无此值)。

域，渔场环境较台湾海峡南部及南海北部可能存在较大的差异。这种差异必然影响生物体生命活动的诸环节。就是说，同种鱼类因栖息水域生活环境的不同，会形成具有生态、形态相对稳定差异的种下群^[2,3]。除此之外，种群生长还与其它诸如群系组成、变化和捕捞压力等因素有关。对本海区蓝圆鲹和其它海区蓝圆鲹生长差异的诸原因，有待进一步研究。

参 考 文 献

- [1] 卢振彬等 1985 台湾海峡西部乌鲳年龄和生长的研究 福建水产 (3): 7—13。
- [2] 吴家雕 1985 浙江近海渔场带鱼的年龄和生长 浙江水产学院学报 4(1): 9—23。
- [3] 吴鹤洲等 1985 带鱼生长的研究 海洋与湖沼

16(2): 156—168。

- [4] 张其永等 1981 厦门杏林湾鲻鱼年龄和生长的研究 水产学报 5(2): 121—131。
- [5] 张杰等 1985 闽南-台湾浅滩渔场蓝圆鲹种群的年龄结构和生长特性 台湾海峡 4(2): 209—218。
- [6] 林景祺等 1981 黄、渤海带鱼生长特性的研究 海洋水产研究 (2): 41—56。
- [7] 郑文莲 1981 中国鲹科鱼类鳞片的比较研究 I 胸鳍区及尾柄区鳞片的形态特征 鱼类学论文集 No.1 科学出版社 33—48。
- [8] 费鸿年等译 1984 鱼类种群生物统计量的计算和解析 科学出版社 144—151。
- [9] 李星颉等 1983 鱼类生长的数学描述 浙江水产学院学报 2(1): 30—39。
- [10] 颜龙明等 1986 福建近海中北部鲐鱼生长和死亡的研究 福建水产 (2): 1—7。
- [11] Caddy, J. F. 1978 Growth and mortality. FAO. Seminar on evaluation of marine resources. Casablanca, Morocco. 1—9.